



"DISEÑO DE INGENIERÍA CIRCUITO VIAL PLAZA DE ARMAS-PLAZUELA SAN FRANCISCO, QUILLOTA" ANEXO F ESTUDIO HIDROLÓGICO

CONTENIDO

1	INTRODUCCION	2
2	INFORMACIÓN EXISTENTE	2
2.1	PLANOS Y PLANCHETAS EXISTENTES	2
3	ANÁLISIS DEL RÉGIMEN DE PRECIPITACIONES	2
3.1	DETERMINACIÓN DE CURVAS	2
4	CÁLCULO DE CAUDALES	4
4.1	DETERMINACIÓN DE CUENCAS APORTANTES	4
5	SUBCUENCAS Y ZONAS DE DESCARGA	5
5.1	DETERMINACIÓN DE COEFICIENTE DE ESCORRENTÍA	5
5.2	DETERMINACIÓN DEL TIEMPO DE CONCENTRACIÓN	6
5.3	CAUDALES, INTENSIDADES Y RESULTADOS	7
6	REFERENCIAS	9
INDI	CE DE FIGURAS	
Figur	ra 2. Grafica IDF	3
Figur	ra 3. Diagrama de descargas	5
INDI	CE DE TABLAS	
Tabla	a 1. IDF Quillota	3
Tabla	a 2. Subcuencas y áreas aportantes	5
Tabla	a 3. Caudales e intensidades	7
Tabla	a 4. Puntos de descarga	8

Avda. Uruguay #385 Dpto Nº 92-51 Valnaraiso - Casilla #1686

Valparaiso - Casilla #1686 Fono / Fax : (32) - 2233850

(32) - 2234504

email: dare@123.cl

1 INTRODUCCION

El presente estudio hidrológico a nivel de perfil tiene como objetivo, determinar caudales de crecida

asociados a 10 años como período de retorno para el colector proyectado para la población de la

Comuna de Quillota en el circuito vial peatonal Plaza de Armas - Plazuela San Francisco, y así

proyectar el diseño de obras de evacuación de aguas lluvias para el sector en estudio.

2 INFORMACIÓN EXISTENTE

2.1 PLANOS Y PLANCHETAS EXISTENTES

El material con que se cuenta es el siguiente:

Proyecto: "Plan Maestro de Evacuación de Aguas Lluvias de la Provincia de Quillota, Informe Final"

Plano: "Solución Propuesta (6c y 6d) Subcuenca Aconcagua Comuna Quillota".

■ Plano: "Diagnóstico T = 2 - 5 y 10 Años, Situación Actual Láminas 6c y 6d (13/52 y 14/52

respectivamente)".

Plano: "Diagnóstico T = 2 – 5 y 10 Años, Situación Futura Láminas 6c y 6d (39/52 y 40/52

respectivamente)".

Plano: "Planchetas de Catastro de Redes Láminas 6c2, 6c4 y 6d1 (14/24, 15/24 y 16/24

respectivamente)".

Plano: "Canales, Cauces Naturales y Vías evacuadotas Lámina 6 (4/8).

3 ANÁLISIS DEL RÉGIMEN DE PRECIPITACIONES

3.1 DETERMINACIÓN DE CURVAS I-D-F

Las curvas de Intensidad-Duración-Frecuencia que caracterizan la zona de interés, para

duraciones de 1 hasta 24 horas y períodos de retorno de 10, 25, 50 y 100 años se obtienen de la

tabla 3.702.402.A de la Ref. 1 correspondiente a la estación Pluviográfica de Quillota.

2



IDF QUILLOTA							
Duración	Períod	[años]					
[Horas]	10	25	50	100			
1	9,92	11,86	13,30	14,72			
2	8,52	10,17	11,39	12,60			
4	7,15	8,55	9,59	10,62			
6	6,27	7,53	8,47	9,40			
8	5,45	6,53	7,33	8,12			
10	5,04	6,09	6,87	7,64			
12	4,67	5,70	6,47	7,23			
14	4,27	5,24	5,96	6,67			
18	3,64	4,52	5,16	5,81			
24	3,10	3,88	4,46	5,04			

Tabla 1. IDF Quillota

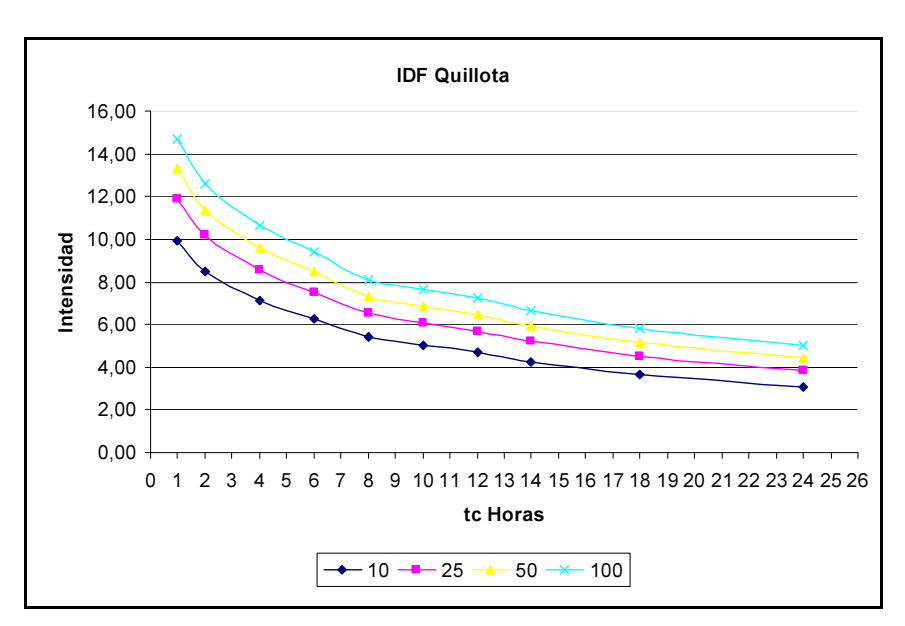


Figura 1. Grafica IDF

Puesto que el estudio es solo de comprobación del sistema proyectado, se comprueba con las intensidades con período de retorno de 10 años.

Avda. Uruguay #385 Dpto Nº 92-51

Valparaiso - Casilla #1686 Fono / Fax : (32) - 2233850

(32) - 2234504

email: dare@123.cl

Para periodos de retorno menor se debe recurrir a la tabla 3.702.403.B (Ref. 1) donde se entregan

los coeficientes de frecuencia que multiplican la intensidad de periodo de retorno de 10 años para

obtener las intensidades requeridas.

Para intensidades de tiempos menores a una hora, se extrapola mediante el método de Bell (1969)

ec. (3.1.2.4) de la Ref. 2.

4 CÁLCULO DE CAUDALES

Para determinar el caudal en los diferentes puntos de descarga al colector, se utilizará la fórmula

Racional. Este método tiene validez para cuencas menores de 10 [Km2] de superficie pues no

considera el efecto de la distribución temporal de las precipitaciones sobre el caudal.

Según el método de la Fórmula Racional (Ref. 2), el caudal se determina mediante la siguiente

expresión:

$$Q = \frac{C \cdot i \cdot A}{3.6}$$

Donde:

C: Coeficiente de Escorrentía

i : Intensidad de la lluvia en [mm/hr] para el tiempo de de concentración de la cuenca

A: Área de la cuenca en [Km2]

Q: Caudal en m3/s

Para evaluar la fórmula es necesario calcular y definir los parámetros o variables que la

constituyen. Es por esto que a continuación se presentan las consideraciones efectuadas para la

determinación de cada uno de ellos.

4.1 DETERMINACIÓN DE CUENCAS APORTANTES

Para la definición de las cuencas aportantes se utilizó la información entregada por los Planos y

Planchetas desglozados en el Ítem 2.1.

4



Aquí se definen 5 puntos de descarga 1.1, 2, 3, 4 y 5 de los cuales se ha considerado 1.2 como adicional debido a la topografía del lugar y el 60% de la descarga en 5 (5.1) como descarga adicional en 3 tras un eventual mal funcionamiento del colector en el punto 5.

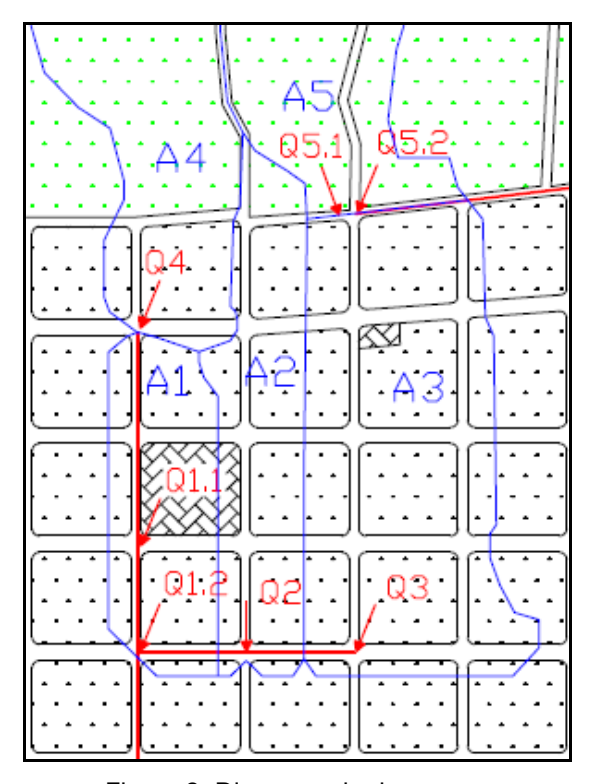


Figura 2. Diagrama de descargas

5 SUBCUENCAS Y ZONAS DE DESCARGA

Las áreas aportantes para cada subcuenca son las siguientes:

Cuencas	A [m²]	L [m]	S [m/m]
1.1	666,67	266,67	0,0063
1.2	333,33	133,33	0,0063
2	1.200,00	600,00	0,0167
3	2.875,00	550,00	0,0091
4	1.837,50	550,00	0,5000
5	2.387,50	500,00	0,0091

Tabla 2. Subcuencas y áreas aportantes



5.1 Determinación de Coeficiente de Escorrentía (C)

Para cada cuenca se estima el Coeficiente de Escurrimiento "C" de la tabla 3.1.2.7 de la Ref. 2:

Tabla 3.1.2.7: Coeficientes de escorrentía.

Tipo de superfície	Coeficiente
Áreas comerciales:	
céntricas	0.70-0.95
suburbios	0.50-0.70
Áreas residenciales:	
casas aisladas	0.30-0.50
condominios aislados	0.40-0.60
condominios pareados	0.60-0.75
suburbios	0.25-0.40
departamentos	0.50-0.70
Áreas industriales:	
grandes industrias	0.50-0.80
pequeñas	0.60-0.90
parques y jardines	0.10-0.25
Calles:	
asfalto	0.70-0.95
concreto	0.80-0.95
adoquín	0.50-0.70
ladrillo	0.70-0.85
pasajes y paseos peatonales	0.75-0.85
techos	0.75-0.95
Prados: suelo arenoso	
plano (2%)	0.05-0.10
pendiente media (2%-7%)	0.10-0.15
pendiente fuerte (>7%)	0.15-0.20
Prados: suelos arcillosos	
planos (<2%)	0.13-0.17
pendiente media (2%-7%)	0.18-0.22
pendiente fuerte (>7%)	0.25-0.35

1.1 0,82 1.2 0,82 2 0,82 3 0,70 4 0,30 5 0,40

С

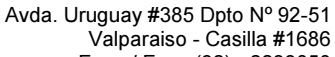
Cuencas

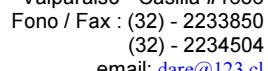
Ref.: ASCE (1972), Viessman et al. (1977), Manual de Carreteras (1981).

5.2 DETERMINACIÓN DEL TIEMPO DE CONCENTRACIÓN T_C

La utilización de la Fórmula Racional requiere el cálculo del tiempo de concentración, el cual incluye el tiempo en que el agua en el punto más alejado de la subcuenca tarda en llegar al colector y el tiempo de flujo por el mismo. Es decir el tiempo de la isoyeta más lejana.

El método utilizado para determinar el tiempo de concentración de las subcuencas es el de Morgali y Linsley (Ref. 2):





email: dare@123.cl



$$T = 7 \frac{L^{0.6} n^{0.6}}{i^{0.4} S^{0.3}}$$

Fórmula de flujo superficial

Donde:

L [m] : Longitud máx de escurrimiento superficial.

Ho: 0,015 : Rugosidad de Manning. n

S [m/m] Pendiente media de la subcuenca.

[mm/h] : Intensidad de Iluvia asociada al tiempo de concentración.

5.3 **CAUDALES, INTENSIDADES Y RESULTADOS**

De los diagramas IDF, las superficies de las subcuencas aportantes y sus respectivos tiempos de concentración, se tienen los siguientes tiempos, intensidades y caudales:

Cuencas	tc [min]	i [mm/hr]	Q [m³/hr]
1.1	23,37	17,56	9,600
1.2	13,73	23,47	6,410
2	30,08	15,18	14,940
3	35,66	13,73	27,630
4	19,13	19,65	10,830
5	64,85	9,51	9,080

Tabla 3. Caudales e intensidades

Estos caudales corresponden a los máximos aportados por cada subcuenca en forma individual. Ahora el estudio de los caudales correspondientes a la combinación de las descargas en el colector se debe realizar según el tiempo de concentración de una subcuenca más lo que demora en recorrer la distancia por el colector hasta la descarga de otra subcuenca aguas abajo y determinar el caudal superpuesto de ambas subcuencas. Para ello se debe cumplir las siguientes condiciones:

•
$$t_c = m\acute{a}x(t_{c1}, t_{c2} + t_{12})$$

email: dare@123.cl

donde:
$$t_{12} = \frac{L}{v_{col}}$$

•
$$Q = m\acute{a}x(Q_1, Q_2, Q_{12}),$$

donde:
$$Q_{12} = C \cdot i(t_{12}) \cdot A_{12}$$
 y $A_{12} = A_1 + A_2$

Entonces se definen los puntos de descarga mencionados en 4.1 y los tramos de colector siguientes:

Tramos

4 1.1	Descarga de 4
1.11.2	Descarga que viene de 4 que se conecta con descarga de 1.1
3 2	Descarga de 5.1 que se conecta con descarga de 3
2 1.2	Descarga que viene de 3 que se conecta con descarga de 2
2 fuera	Descarga que viene de 1.1 y 2 que se conecta con descarga de 1.2

Tabla 4. Puntos de descarga

El estudio de los caudales que convergen al colector y su superposición se presentan en la siguiente tabla:

Velocidad escurrimiento colector: min: 1 [m/s] max: 5 [m/s]

* 01001444	00041111101	10 00.0010	 . [, 0]
Vel dis.	1	[m/s]	

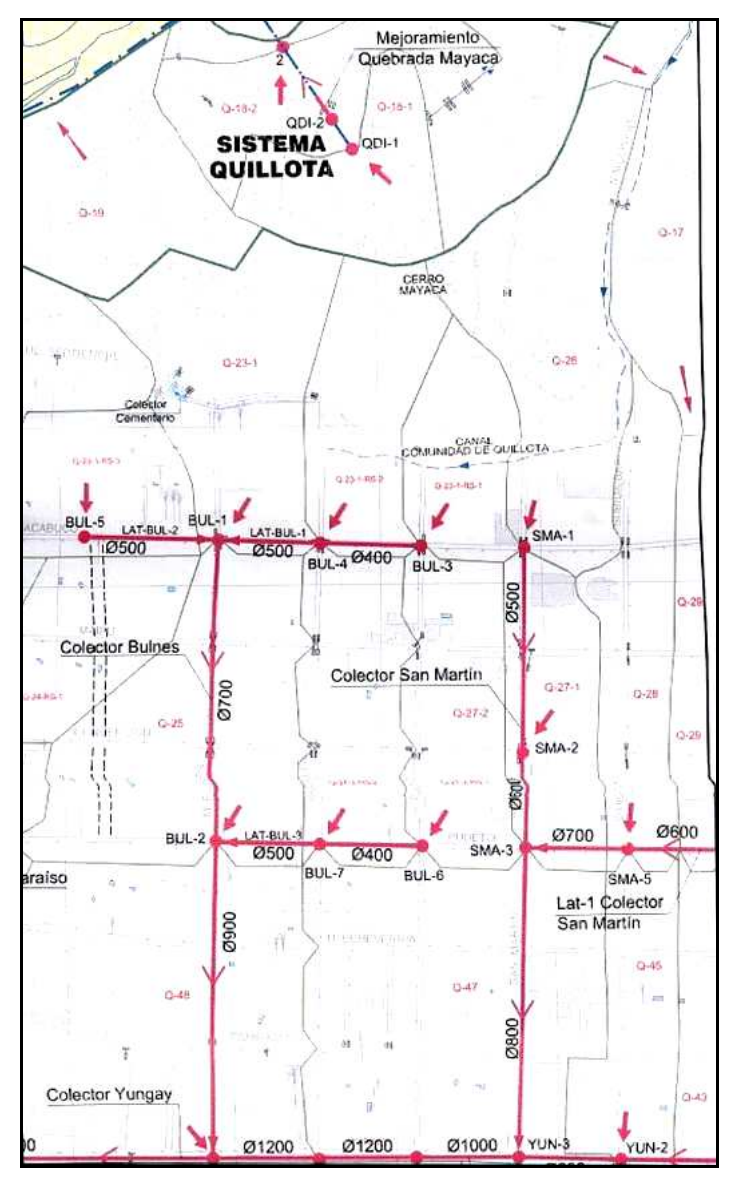
								Q máx	Ø proy.	
	Tra	mos	A [m2]	Dist [m]	t [min]	С	i [mm/hr]	[m3/hr]	[mm]	
I	4	1.1	1.837,50	250	19,13	0,30	19,58	10,830	500	Ok
I	1.1	1.2	2.504,17	125	23,37	0,60	17,50	26,300	600	Ok
I	3	2	4.307,50	125	100,51	0,65	7,16	27,630	600	Ok
I	2	1.2	5.507,50	125	102,59	0,82	7,07	31,928	700	Ok
I	2	fuera	8.345,00		104,68	0,82	6,98	47,752	800	Ok

Según los escurrimientos esperados, los diámetros proyectados cumplen para un flujo con altura menor al 70% del diámetro.



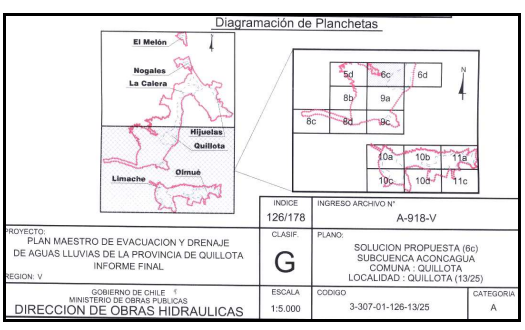
6 REFERENCIAS

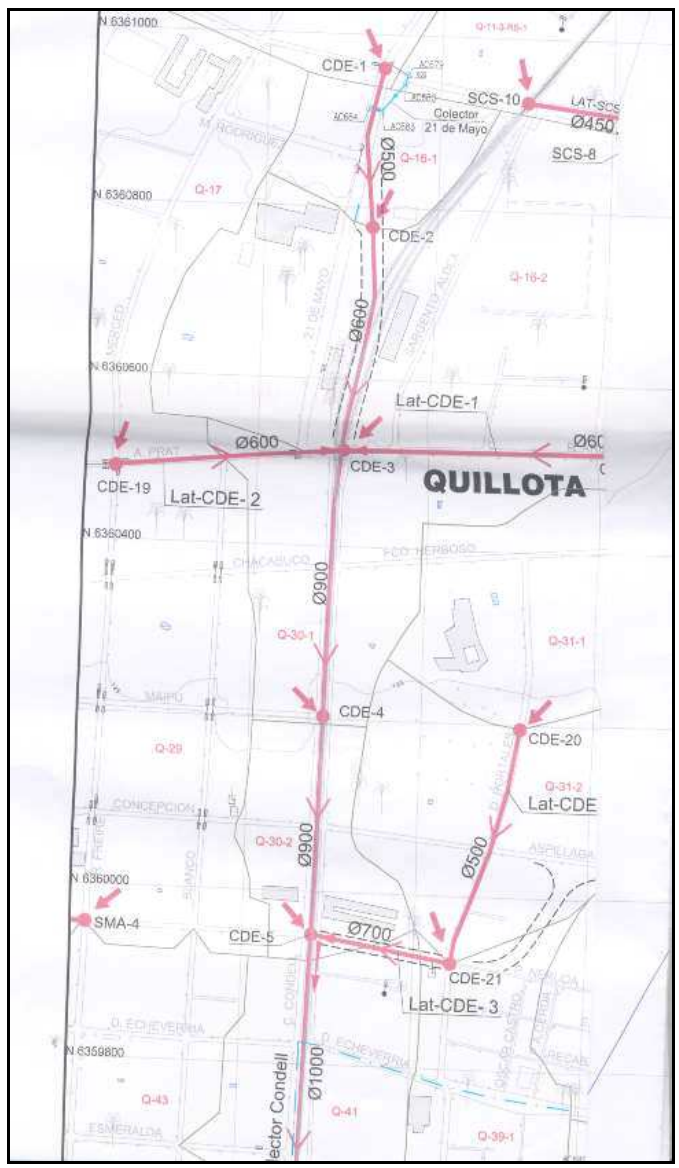
- (1) Manual de Carreteras 2002 Volumen 3.
- (2) Guía de Diseño, Técnicas Alternativas para Soluciones de Aguas Lluvias en Sectores Urbanos, MINVU. Capítulo 3.



Plano: "Solución Propuesta (6c) Subcuenca Aconcagua Comuna Quillota".

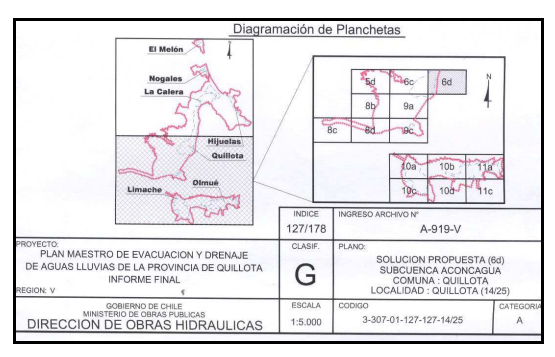






Plano: "Solución Propuesta (6d) Subcuenca Aconcagua Comuna Quillota".

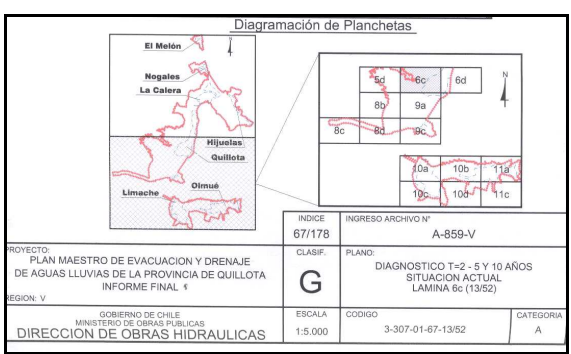


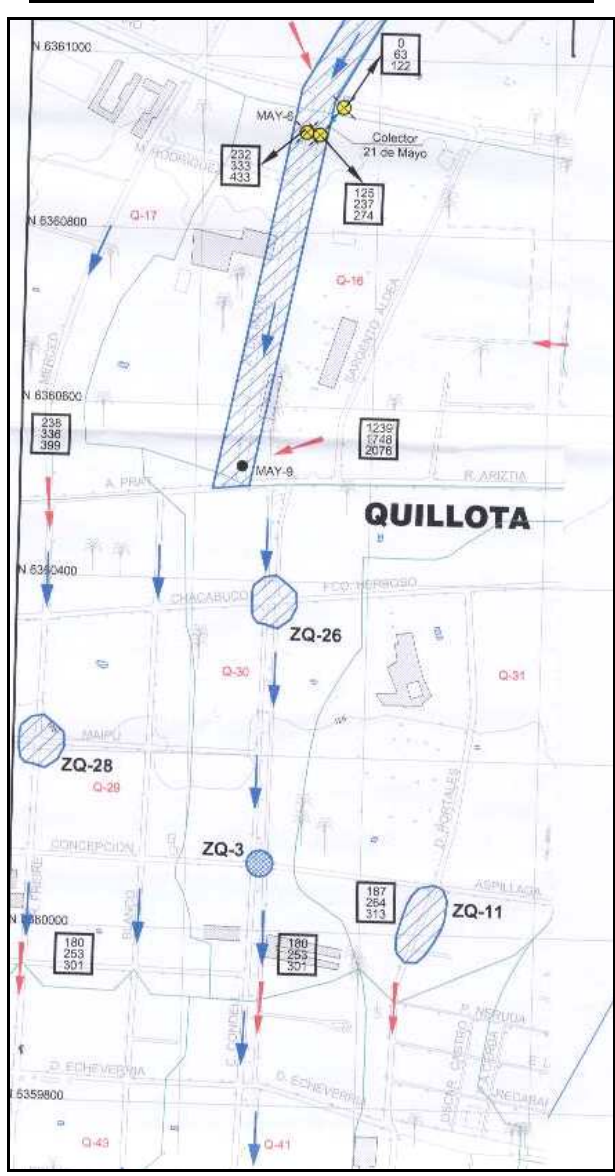




Plano: "Diagnóstico T = 2 – 5 y 10 Años, Situación Actual Láminas 6c (13/52)".

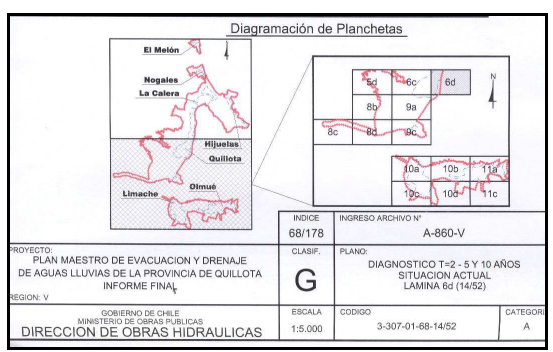


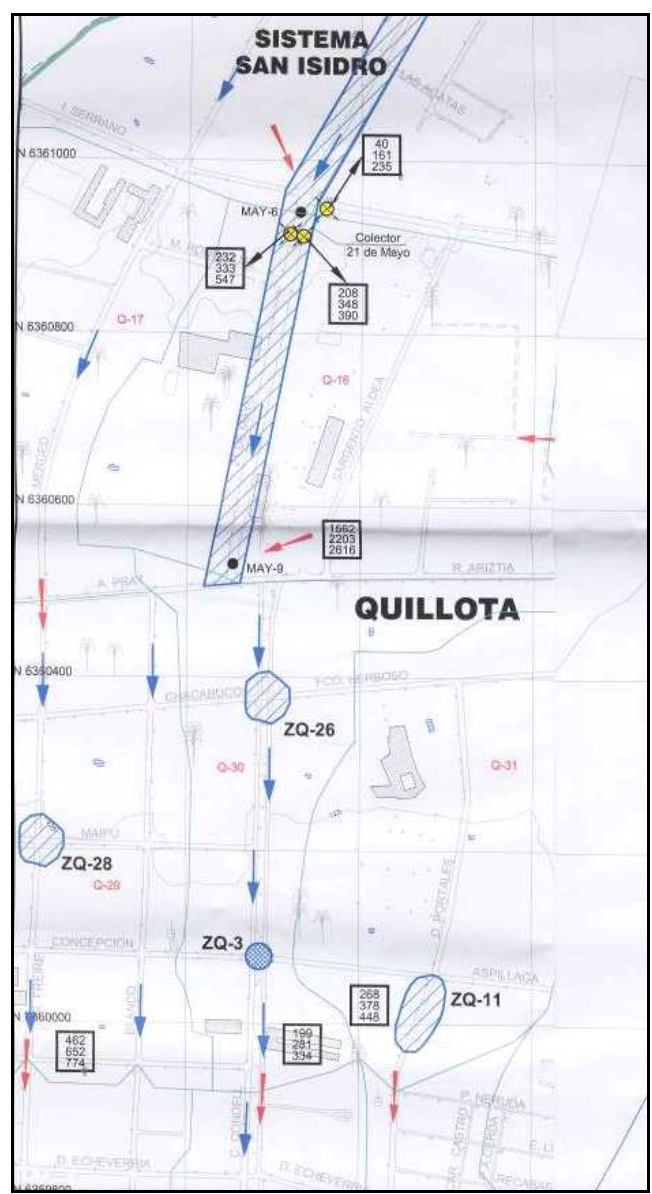




Plano: "Diagnóstico T = 2 – 5 y 10 Años, Situación Actual Láminas 6d (14/52)".







Plano: "Diagnóstico T = 2 – 5 y 10 Años, Situación Futura Láminas 6d (40/52)".



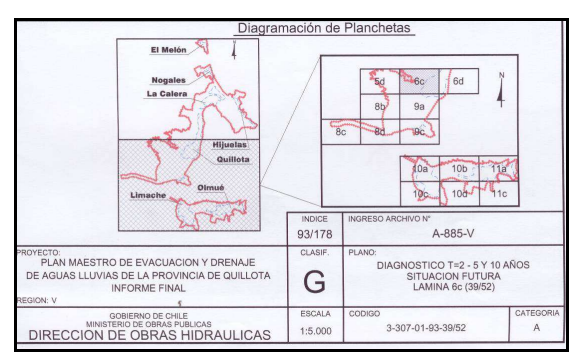


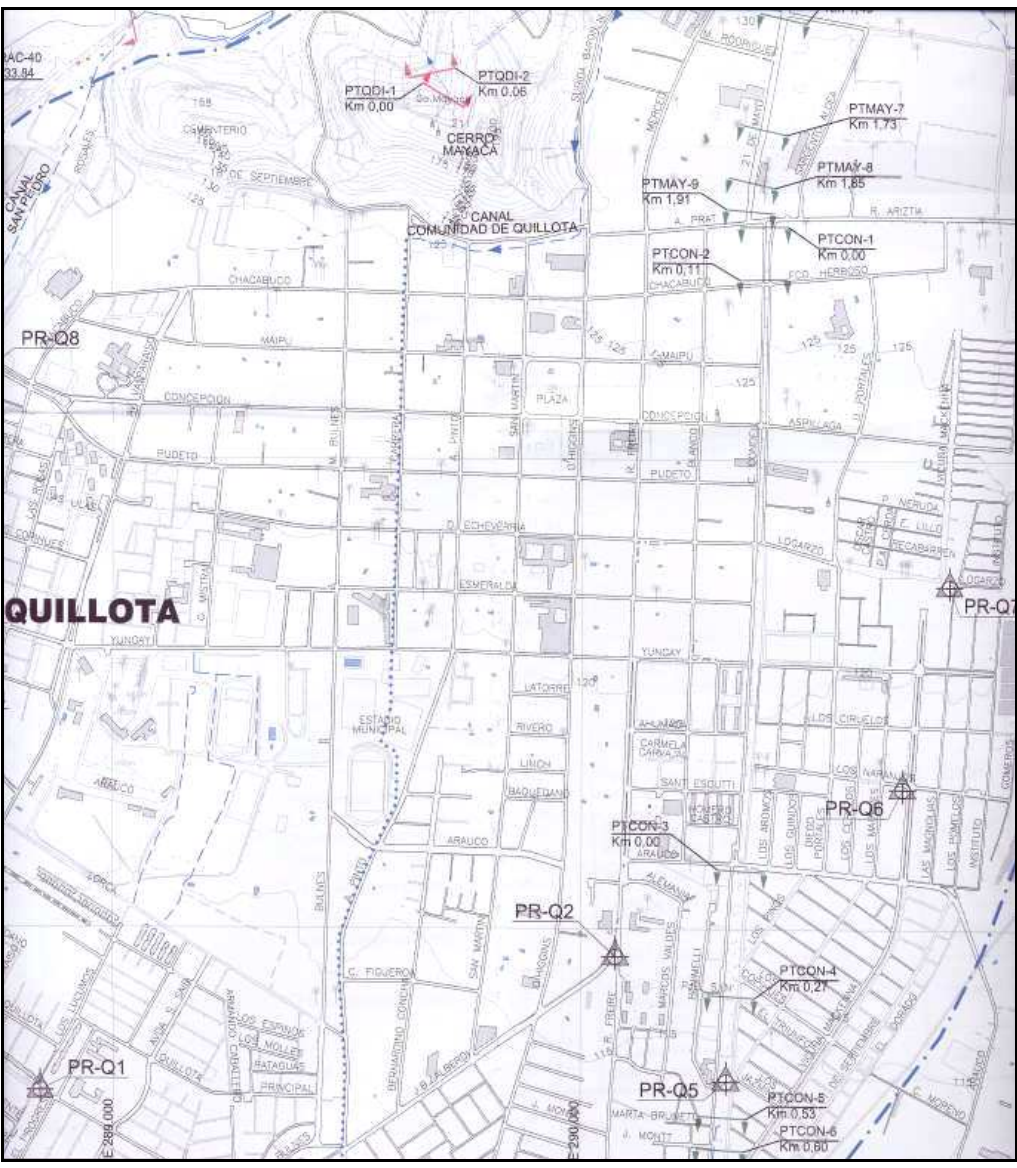


Plano: "Diagnóstico T = 2-5 y 10 Años, Situación Futura Láminas 6c (39/52)".



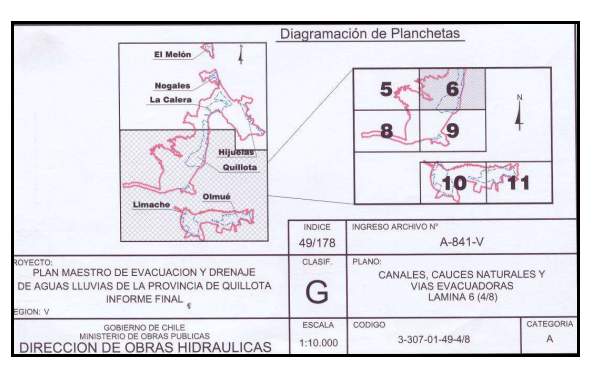


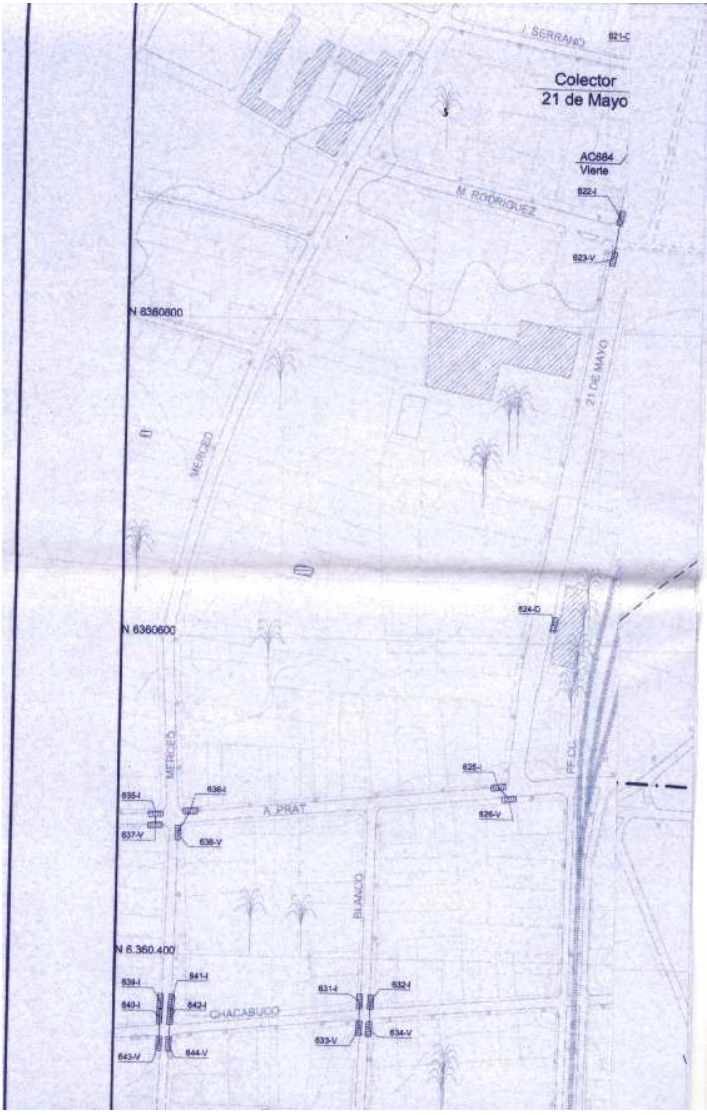




Plano: "Canales, Cauces Naturales y Vías evacuadotas Lámina 6 (4/8).

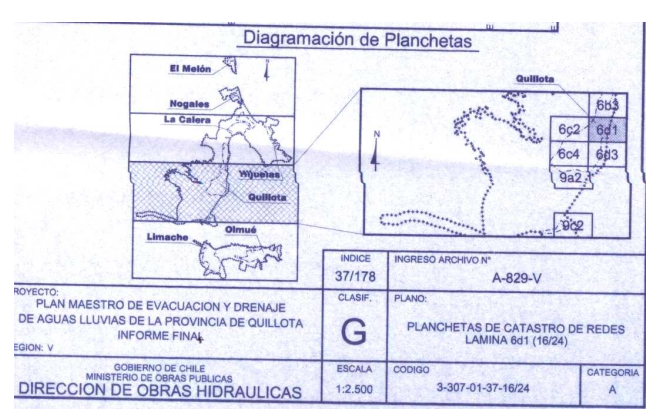


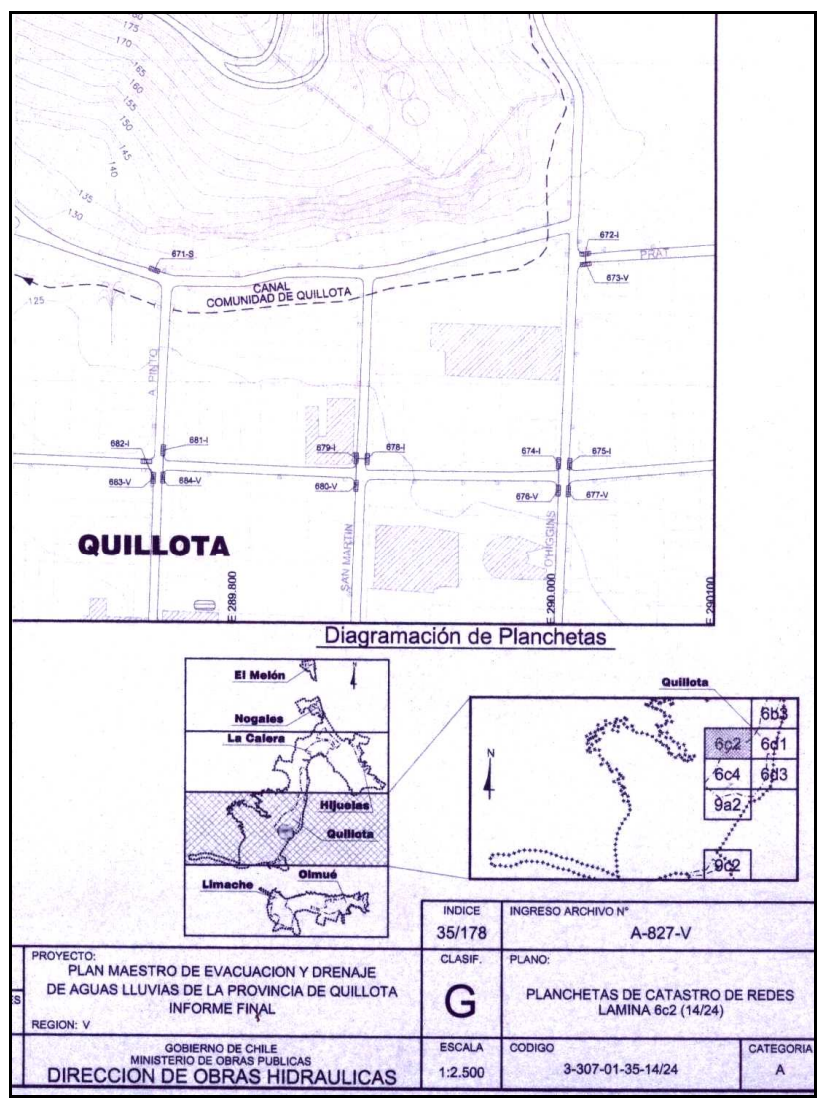




Plano: "Planchetas de Catastro de Redes Láminas 6d1 (16/24)".

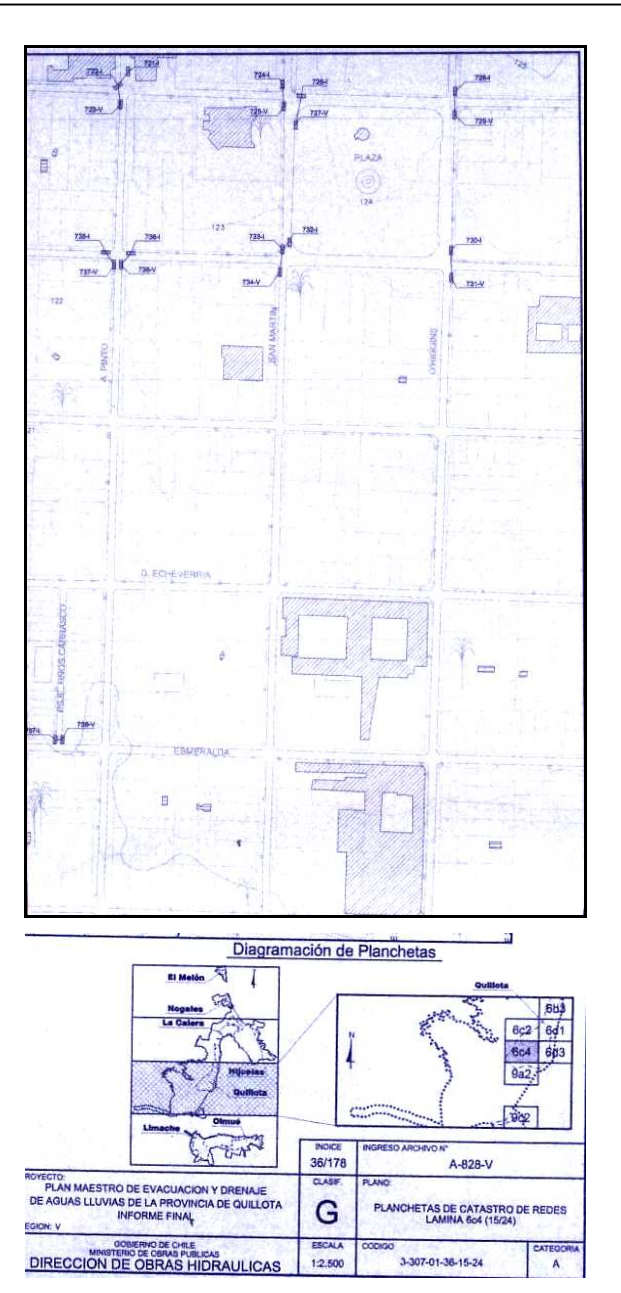






Plano: "Planchetas de Catastro de Redes Láminas 6c2 (14/24)".





Plano: "Planchetas de Catastro de Redes Láminas 6c4 (15/24)".

JUAN CARLOS RINCONES INGENIERO CIVIL UTFSM